

# Taller de Simulación Numérica. Parte 3: Elementos Finitos

F. Pena y P. Quintela

Curso 2021-22

# Taller de Simulación Numérica

## Curso 2021-22

Tema 6. Método de elementos finitos. Problemas de contorno 1D

F. Pena; P. Quintela

# 6.1 Elementos Finitos

## Objetivos Parte 3

- 1 Fundamentos de **Simulación** con FEM: Mallado del dominio. Calidad de la malla. Elemento finito. Discretización de la solución. Error de la aproximación. Sistema lineal asociado, matriz de rigidez y vector de cargas. Tratamiento de condiciones de contorno. Cálculos postproceso.
- 2 Aplicación al modelo de barra solicitada axialmente con **elementos finitos de Lagrange lineales**.
- 3 Aplicación a los modelos de **balance de masa de un reactor** ya resueltos con diferencias finitas.
- 4 Aplicación a la **ecuación del calor estacionaria 2D**.
- 5 Utilización de **Matlab** como herramienta de CAE.
- 6 Utilización de **COMSOL** como herramienta de CAD/CAE.

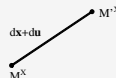
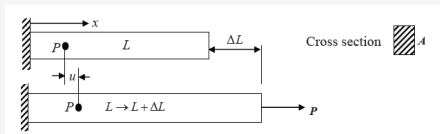
# 6.1 Elementos Finitos

## Visión general

- Identificación del modelo matemático
  - 1D, 2D ó 3D.
  - Térmico, mecánico, hidrodinámico, cinética química, multifísica, .
  - Axial, torsión, flexión, tensiones planas, deformaciones planas, axisimétrico, con simetrías, ...
- Fases del método
  - Preproceso: CAD.
  - Simulación: CAE.
  - Postproceso.

## 6.2 FEM 1D. Barra solicitada axialmente

### Desplazamiento y tensión



- **Desplazamiento:** vector que indica el cambio de posición de cada punto material del cuerpo en cada instante.

Desplazamiento:  $\mathbf{u}(\mathbf{p}, t)$



Movimiento:  $\mathbf{X}(\mathbf{p}, t) = \mathbf{p} + \mathbf{u}(\mathbf{p}, t)$



Gradiente Deformación:  $\mathbf{F} = \mathbf{I} + \nabla \mathbf{u}$

- **Tensión:** tensor relacionado con la fuerza por unidad de área.

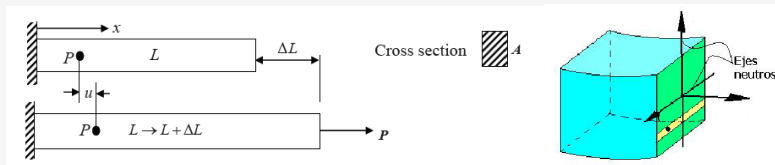
1<sup>er</sup> Piola Kirchhoff:  $\mathbf{S}(\mathbf{p}, t)$



Lin. Cauchy:  $\sigma_{xx} = P/A$

## 6.2 FEM 1D. Barra solicitada axialmente

### Modelo matemático



- El esfuerzo normal total sobre la sección  $x = x_0$  es:

$$A\sigma_{xx}|_{x=x_0} = AE \frac{du}{dx}(x_0)$$

$$A\sigma_{xx} = AE \frac{du}{dx} \Bigg\} \Rightarrow \begin{cases} -\frac{d}{dx} \left( AE \frac{du(x)}{dx} \right) = q(x), \\ q(x) = \rho_0 g A; \sigma = E \frac{du(x)}{dx}, \\ u(0) = 0; EA \frac{du(L)}{dx} = P. \end{cases}$$

$Q(x) = AE \frac{du(x)}{dx}$  es el **esfuerzo normal** y  $q(x)$  la **carga por unidad de longitud**.

## 6.3 FEM 1D. Barra solicitada axialmente.

### Contexto general

$$\left. \begin{array}{l} -\frac{d}{dx} \left( AE \frac{du(x)}{dx} \right) = q(x), \\ q(x) = \rho_0 g A; \sigma = E \frac{du(x)}{dx} \\ u(0) = 0; EA \frac{du(L)}{dx} = P \end{array} \right\} \Rightarrow \left\{ \begin{array}{l} -\int_0^L \frac{d}{dx} \left( AE \frac{du(x)}{dx} \right) v(x) dx \\ = \int_0^L \rho_0 g A v(x) dx, \\ \forall v(x); v(0) = 0. \end{array} \right.$$

$v(x)$  son conocidas como **funciones test**. Este modelo encaja en la **expresión general**:

$$\left. \begin{array}{l} -\frac{d}{dx} \left( p(x) \frac{du(x)}{dx} \right) + r(x) u(x) = f(x), \quad x \in [a, b] \\ u(a) = u_a \text{ ó } -p(a) \frac{du}{dx}(a) + h_a u(a) = g_a, \\ u(b) = u_b \text{ ó } p(b) \frac{du}{dx}(b) + h_b u(b) = g_b, \end{array} \right\}$$

considerando:

$$\begin{aligned} a &= 0, \quad b = L, \quad p(x) = AE, \quad r(x) = 0, \quad f(x) = q(x) \\ u_a &= 0, \quad \text{CC Dirichlet en } x = 0; \quad h_b = 0, \quad g_b = P, \quad \text{CC Neumann.} \end{aligned}$$

## 6.3 FEM 1D. Problema de contorno 1D

Formulación fuerte / Formulación débil

$$\left. \begin{aligned} -\frac{d}{dx} \left( p(x) \frac{du(x)}{dx} \right) + r(x) u(x) &= f(x), \quad x \in [a, b] \\ u(a) &= u_a \quad \text{ó} \quad -p(a) \frac{du}{dx}(a) + h_a u(a) = g_a, \\ u(b) &= u_b \quad \text{ó} \quad p(b) \frac{du}{dx}(b) + h_b u(b) = g_b. \end{aligned} \right\}$$

Multiplicando por una función test  $v(x)$ :

$$\left\{ \begin{aligned} \int_a^b \left( -\frac{d}{dx} \left( p(x) \frac{du(x)}{dx} \right) + r(x) u(x) \right) v(x) dx &= \int_a^b f(x) v(x) dx, \\ \forall v(x) &\in V. \end{aligned} \right.$$

Aplicando integración por partes::

$$\left\{ \begin{aligned} \int_a^b p(x) \frac{du(x)}{dx} \frac{dv(x)}{dx} dx + \int_a^b r(x) u(x) v(x) dx \\ - p(x) \frac{du(x)}{dx} v(x) \Big|_{x=a}^{x=b} &= \int_a^b f(x) v(x) dx, \\ \forall v(x) &\in V. \end{aligned} \right.$$



## 6.3 FEM 1D. Problema de contorno 1D

Formulación fuerte / Formulación débil

$$\left\{ \begin{array}{l} \int_a^b p(x) \frac{du(x)}{dx} \frac{dv(x)}{dx} dx + \int_a^b r(x) u(x) v(x) dx \\ -p(x) \frac{du(x)}{dx} v(x) \Big|_{x=a}^{x=b} = \int_a^b f(x) v(x) dx, \quad \forall v(x) \in V. \end{array} \right.$$

Aplicando las condiciones de contorno:

$$\left\{ \begin{array}{l} u(a) = u_a \text{ ó } -p(a) \frac{du}{dx}(a) + h_a u(a) = g_a, \\ u(b) = u_b \text{ ó } p(b) \frac{du}{dx}(b) + h_b u(b) = g_b. \end{array} \right.$$

$$\left\{ \begin{array}{l} \int_a^b p(x) \frac{du(x)}{dx} \frac{dv(x)}{dx} dx + \int_a^b r(x) u(x) v(x) dx \\ h_b u(b) v(b) + h_a u(a) v(a) = \int_a^b f(x) v(x) dx + g_b v(b) + g_a v(a), \\ \forall v(x) \in V; \left\{ \begin{array}{l} v(a) = 0 \text{ si Dirichlet en } x = a, \text{ y con } u(a) = u_a, \text{ y} \\ v(b) = 0 \text{ si Dirichlet en } x = b, \text{ y con } u(b) = u_b. \end{array} \right. \end{array} \right.$$

Si  $p, r$  y  $f$  son, por ejemplo funciones continuas, se puede tomar:

$$V = \{v : [a, b] \rightarrow \mathbb{R}; \int_a^b [v^2 + (v')^2] dx < +\infty\}.$$

## 6.3 FEM 1D. Formulación fuerte

### Problema (Formulación fuerte)

Encontrar  $u : x \in [a, b] \rightarrow u(x)$ ,  $u \in C^2([a, b])$ , verificando:

$$\left. \begin{aligned} -\frac{d}{dx} \left( p(x) \frac{du(x)}{dx} \right) + r(x) u(x) &= f(x), \quad x \in [a, b] \\ u(a) &= u_a \text{ ó } -p(a) \frac{du}{dx}(a) + h_a u(a) = g_a, \\ u(b) &= u_b \text{ ó } p(b) \frac{du}{dx}(b) + h_b u(b) = g_b. \end{aligned} \right\}$$

### Ejemplo (Formulación fuerte barra solicitada axialmente)

Encontrar  $u : x \in [0, L] \rightarrow u(x)$ ,  $u \in C^2([0, L])$ , verificando:

$$\left. \begin{aligned} -\frac{d}{dx} \left( AE \frac{du(x)}{dx} \right) &= q(x), \quad x \in [0, L] \\ q(x) &= \rho_0 g A; \sigma = E \frac{du(x)}{dx} \\ u(0) &= 0; EA \frac{du(L)}{dx} = P \end{aligned} \right\}$$

## 6.3 FEM 1D. Formulación variacional o débil

### Problema (Formulación débil)

Encontrar  $u \in V$ , verificando las condiciones Dirichlet si las hubiere ( $u(a) = u_a$ ,  $u(b) = u_b$ ), y tal que:

$$\left\{ \begin{array}{l} \int_a^b p(x) \frac{du(x)}{dx} \frac{dv(x)}{dx} dx + \int_a^b r(x) u(x) v(x) dx \\ h_b u(b) v(b) + h_a u(a) v(a) = \int_a^b f(x) v(x) dx + g_b v(b) + g_a v(a), \\ \forall v(x) \in V; \left\{ \begin{array}{l} v(a) = 0 \text{ si Dirichlet en } x = a, \\ v(b) = 0 \text{ si Dirichlet en } x = b. \end{array} \right. \end{array} \right.$$

### Ejemplo (Formulación débil para una barra solicitada axialmente)

$$\begin{array}{ll} \text{Encontrar } u \in V & \text{tal que } u(0) = 0 \text{ y} \\ \int_0^L AE \frac{du(x)}{dx} \frac{dv(x)}{dx} dx = & \int_0^L \rho_0 g A v(x) dx + P v(L), \\ \forall v \in V; & v(0) = 0. \end{array}$$

## 6.2 FEM 1D. Espacios de Sobolev

Sea  $V = \{v : [a, b] \rightarrow \mathbb{R}; \int_a^b [v^2 + (v')^2] dx < +\infty\}$ . Las derivadas deben entenderse en el sentido de las distribuciones.

- El espacio  $V$  se dota de una norma, llamada **norma de Sobolev**, que se define por:

$$\|v\|_V = \left( \int_a^b [v^2 + (v')^2] dx \right)^{1/2}.$$

- Esta norma **proviene del producto escalar**:

$$(u, v) = \int_a^b (uv + u'v') dx.$$

- En la bibliografía es usual denotar a  $V$  por  $H^1(a, b)$ :

$$V = H^1(a, b).$$

- $H^1(a, b)$  es un **espacio de Sobolev**.

## 6.3 FEM 1D. Formulación variacional o débil

Sea  $V_0$  el subespacio de  $V$  definido por:

$$V_0 = \left\{ v \in V \left/ \begin{array}{l} v(a) = 0 \text{ si Dirichlet en } x = a, \\ v(b) = 0 \text{ si Dirichlet en } x = b, \end{array} \right. \right\}, \quad (1)$$

mientras que coincide con  $V$  si no hay condiciones Dirichlet.

- **Desigualdad de Poincaré:** Si el espacio (1) es tal que  $V_0 \subsetneq V$  (es decir, hay condición Dirichlet en  $x = a$  o en  $x = b$ ), entonces:

$$\forall v \in V_0, \quad M_1 \|v\|_V^2 \leq \int_a^b (v')^2 dx \leq M_2 \|v\|_V^2$$

siendo  $M_1$  y  $M_2$  constantes positivas.

- La desigualdad de Poincaré permite considerar para  $V_0 \subsetneq V$  la norma:

$$\|v\|_{V_0} = \left( \int_a^b (v')^2 dx \right)^{1/2}.$$

- Se denota por  $H_0^1(a, b)$  el subespacio de sobolev de  $H^1(a, b)$ :

$$H_0^1(a, b) = \{ v \in H^1(a, b) ; v(a) = 0 \text{ y } v(b) = 0 \}. \quad (2)$$

## 6.3 FEM 1D. Formulación variacional o débil

Sea  $V_0$  el subespacio de  $V$  definido por:

$$V_0 = \left\{ v \in V \left/ \begin{array}{l} v(a) = 0 \text{ si Dirichlet en } x = a, \\ v(b) = 0 \text{ si Dirichlet en } x = b, \end{array} \right. \right\}, \quad (3)$$

mientras que coincide con  $V$  si no hay condiciones Dirichlet. Si alguna de las condiciones es Dirichlet, la solución  $u$  pertenece a  $V_0$ , solo en el caso de que sea homogénea.

- **Condición Dirichlet no homogénea y solo en un extremo:** Si existe condición Dirichlet, por ejemplo, en  $x = a : u(a) = u_a$ , entonces la solución

$$u(x) \in u_D(x) + V_0,$$

siendo  $u_D(x)$  una función de  $V$  que verifique la condición de contorno, por ejemplo:

$$u_D(x) = \frac{x-b}{a-b} u_a, \quad V_0 = \{v \in V; v(a) = 0\}.$$

Obsérvese que en el extremo  $b$ ,  $u_D$  sería nula.

## 6.3 FEM 1D. Formulación variacional o débil

Sea  $V_0$  el subespacio de  $V$  definido por:

$$V_0 = \left\{ v \in V \left/ \begin{array}{l} v(a) = 0 \text{ si Dirichlet en } x = a, \\ v(b) = 0 \text{ si Dirichlet en } x = b, \end{array} \right. \right\}, \quad (4)$$

mientras que coincide con  $V$  si no hay condiciones Dirichlet.

- **Condición Dirichlet no homogénea en ambos extremos:** Si existe condición Dirichlet en ambos extremos,  $u(a) = u_a$ ,  $u(b) = u_b$ , entonces la solución  $u(x) \in u_D(x) + V_0$  siendo  $u_D(x)$  una función de  $V$  que verifique ambas condiciones de contorno, por ejemplo:

$$u_D(x) = \frac{x-b}{a-b} u_a + \frac{a-x}{a-b} u_b,$$

$$V_0 = \{v \in V; v(a) = 0 \text{ y } v(b) = 0\}. \quad (5)$$

- En ausencia de condiciones Dirichlet,  $u(x) \in V_0 = V$ .

## 6.3 FEM 1D. Formulación variacional o débil

### Problema (Formulación variacional o débil )

Encontrar  $u \in V$ , verificando las condiciones Dirichlet si las hubiere ( $u(a) = u_a$ ,  $u(b) = u_b$ ), y tal que:

$$\left\{ \begin{array}{l} \int_a^b p(x) \frac{du(x)}{dx} \frac{dv(x)}{dx} dx + \int_a^b r(x) u(x) v(x) dx \\ + h_b u(b) v(b) + h_a u(a) v(a) = \int_a^b f(x) v(x) dx + g_b v(b) + g_a v(a), \\ \forall v(x) \in V_0. \end{array} \right.$$

### Problema (Formulación variacional o débil general )

Encontrar  $u \in V$ , verificando las condiciones Dirichlet si las hubiere ( $u(a) = u_a$ ,  $u(b) = u_b$ ), y tal que:

$$a(u, v) = L(v), \quad \forall v \in V_0.$$



## 6.3 FEM 1D. Formulación variacional o débil

### Ejemplo (Problema variacional general barra solicitada axialmente)

Encontrar  $u \in V_0$  tal que

$$a(u, v) = L(v), \quad \forall v \in V_0,$$

siendo  $V_0 = \{v \in V; v(0) = 0\}$ .

### Ejemplo (Operadores barra solicitada axialmente)

$$\begin{cases} a(u, v) = \int_0^L AE \frac{du(x)}{dx} \frac{dv(x)}{dx} dx, \\ L(v) = \int_0^L \rho_0 g A v(x) dx + P v(L). \end{cases}$$

Obsérvese que  $a$  es una **forma bilineal** definida de  $V \times V \rightarrow \mathbb{R}$  y  $L$  es **lineal** definida de  $V \rightarrow \mathbb{R}$ .

## 6.2 FEM 1D. Barra solicitada axialmente

Formulación fuerte / Formulación débil

$$\left. \begin{aligned} -\frac{d}{dx} \left( AE \frac{du(x)}{dx} \right) &= q(x), \\ q(x) &= \rho_0 g A; \sigma = AE \frac{du(x)}{dx} \\ u(0) &= 0; EA \frac{du(L)}{dx} = P \end{aligned} \right\}$$

$\Downarrow; \Uparrow$  si  $u$  es regular

$$\begin{aligned} &\text{Encontrar } u \in V \quad \text{tal que } u(0) = 0 \text{ y} \\ &\int_0^L AE \frac{du(x)}{dx} \frac{dv(x)}{dx} dx = \int_0^L \rho_0 g A v(x) dx + P v(L), \\ &\forall v \in V; v(0) = 0. \end{aligned}$$

**Observación :**  $u(0) = 0$  elimina las transformaciones rígidas y garantiza la unicidad de solución

## 6.3 FEM 1D. Propiedades de los operadores

### Definición (Operador continuo)

Se dice que el operador  $L$  es continuo sobre  $V$  si existe una constante  $M_L$  tal que:

$$|L(v)| \leq M_L \|v\|_V, \quad \forall v \in V.$$

Si  $f(x) \in C([a, b])$  entonces el operador lineal:

$$L(v) = \int_a^b f(x) v(x) dx + g_b v(b) + g_a v(a),$$

es continuo sobre  $V$ , gracias a la desigualdad de Hölder y a la inyección continua de  $H^1(0, L)$  en  $C([0, L])$ .

### Ejemplo (Barra solicitada axialmente)

El operador lineal  $L$  asociado al modelo de barra solicitada axialmente es continuo:

$$|L(v)| = \left| \int_0^L \rho_0 g A v(x) dx + P v(L) \right| \leq M_L \|v\|_V.$$

## 6.3 FEM 1D. Propiedades de los Operadores

### Definición (Forma bilineal continua)

Se dice que la forma bilineal  $a$  es continua sobre  $V \times V$ , si existe una constante  $M > 0$  tal que cualesquiera que sean las funciones  $u, v \in V$  se verifica:

$$|a(u, v)| \leq M \|u\|_V \|v\|_V.$$

Si  $p(x)$  y  $r(x) \in C([a, b])$  entonces el operador bilineal:

$$a(u, v) = \int_a^b p(x) \frac{du(x)}{dx} \frac{dv(x)}{dx} dx + \int_a^b r(x) u(x) v(x) dx \quad (6) \\ + h_b u(b) v(b) + h_a u(a) v(a)$$

es continuo sobre  $V \times V$ .

## 6.3 FEM 1D. Propiedades de los Operadores

### Ejemplo (Barra solicitada axialmente)

La forma bilineal  $a$  asociada al modelo de barra solicitada axialmente es continua:

$$\begin{aligned} |a(u, v)| &= \left| \int_0^L AE \frac{du(x)}{dx} \frac{dv(x)}{dx} dx \right| \leq AE \int_0^L |u'(x) v'(x)| dx \\ &\leq M \|u\|_V \|v\|_V, \end{aligned}$$

donde  $M = AE$ .

## 6.3 FEM 1D. Propiedades de los operadores

### Definición (Forma bilineal coerciva)

Se dice que la forma bilineal  $a$  es  $V_0$ -coerciva si existe una constante  $\alpha > 0$  tal que

$$a(v, v) \geq \alpha \|v\|_V^2, \quad \forall v \in V_0.$$

### Ejemplo (Barra solicitada axialmente)

La forma bilineal  $a$  asociada al modelo de barra solicitada axialmente es coerciva:

$$a(v, v) = \int_0^L AE \frac{dv(x)}{dx} \frac{dv(x)}{dx} dx \geq \alpha \|v\|_V^2, \quad \forall v \in V_0,$$

gracias a la desigualdad de Poincaré.

## 6.3 FEM 1D. Propiedades de los operadores

### Teorema

Sea  $V_0$  está definido por la ecuación (3), y el coeficiente  $p(x)$  continuo en  $[a, b]$  y tal que existe  $m_p > 0$ , tal que  $\min_{x \in [a, b]} p(x) \geq m_p$ . Supongamos que se verifica uno de los siguientes escenarios:

- El coeficiente  $r(x)$  es continuo en  $[a, b]$  y tal que existe  $m_r > 0$ , tal que  $\min_{x \in [a, b]} r(x) \geq m_r$ . Además, si existe alguna condición Robin, entonces el correspondiente coeficiente  $h_a, h_b$  es positivo.
- Si  $r(x) = 0$ , y si existe alguna condición Robin, entonces el correspondiente coeficiente  $h_a, h_b$  es positivo. En caso de no haya alguna condición Dirichlet, entonces  $h_a + h_b > 0$ .

Entonces la forma bilineal (6) es  $V_0$ -coerciva.

Es importante recordar que si no hay condiciones Dirichlet, entonces  $V_0 = V$ .

## 6.4 FEM 1D.

Existencia de solución. Problema aproximado.

### Teorema (Lema de Lax Milgram )

*Si la forma bilineal  $a$  es continua sobre  $V \times V$  y  $V_0$ -coerciva, y si el operador lineal  $L$  es continuo sobre  $V$ , entonces el problema*

$$\text{Encontrar } u \in u_D + V_0 \text{ tal que} \quad (7)$$

$$a(u, v) = L(v), \quad \forall v \in V_0, \quad (8)$$

*admite una única solución.*

### Definición (Problema aproximado )

*Sea  $V_h \subset V$  de **dimensión finita tal que  $\lim_{h \rightarrow 0} (\dim(V_h)) = +\infty$** . Se define el **problema aproximado de (7)-(8) como:***

$$\begin{aligned} &\text{Encontrar } u_h \in u_{Dh} + V_{h0} \text{ tal que} \\ &a(u_h, v_h) = L(v_h), \quad \forall v_h \in V_{h0}. \end{aligned} \quad (9)$$



## 6.4 FEM 1D.

Problema aproximado.

- Sea  $V_h \subset V$  de **dimensión finita tal que  $\lim_{h \rightarrow 0} (\dim(V_h)) = +\infty$ .**
- $a$  **continua sobre  $V \times V$ , y  $V_0$ -coerciva.**
- $L$  **continuo sobre  $V$ .**

### Definición (Problema discreto)

Se define el **problema aproximado de (7)-(8) como:**

$$\begin{aligned} \text{Encontrar } u_h (\equiv \mathbf{u}_h) \in u_{Dh} + V_{h0} \text{ tal que} \\ a(u_h, v_h) = L(v_h), \quad \forall v_h \in V_{h0}, \end{aligned} \quad (10)$$

siendo  $u_h(x) = \sum_{i=1}^{N_h} u_h^i \omega^i(x)$ , siendo  $u_h^i$  la  $i$ -ésima componente de  $\mathbf{u}_h$ , y  $\langle \omega^1, \omega^2, \omega^3, \dots, \omega^{N_h} \rangle$  una base de  $V_h$ .

## 6.4 FEM 1D.

### Problema aproximado.

- Sea  $V_h \subset V$  de **dimensión finita tal que**  $\lim_{h \rightarrow 0} (\dim(V_h)) = +\infty$ .

### Definición (Problema discreto)

Se define el **problema aproximado de (7)-(8)** como:

$$\begin{aligned} \text{Encontrar } u_h (\equiv \mathbf{u}_h) \in u_{Dh} + V_{h0} \text{ tal que} \\ a(u_h, v_h) = L(v_h), \quad \forall v_h \in V_{h0}, \end{aligned} \quad (11)$$

siendo  $u_h(x) = \sum_{i=1}^{N_h} u_h^i \omega^i(x)$ , y  $\langle \omega^1, \omega^2, \omega^3, \dots, \omega^{N_h} \rangle$  una base de  $V_h$ .

### Teorema (Lema de Cea, cota de error)

Existe una constante  $C > 0$ , independiente de  $h$  tal que

$$\|u - u_h\| \leq C \inf_{w_h \in u_{Dh} + V_{h0}} \|u - w_h\| = C d(u, V_h). \quad (12)$$

## 6.5 FEM 1D.

### Formulación matricial.

- Sea  $V_h \subset V$  de **dimensión finita tal que**  $\lim_{h \rightarrow 0} (\dim(V_h)) = +\infty$  :

$$V_h = \langle \omega^1, \omega^2, \omega^3, \dots, \omega^{N_h} \rangle.$$

$$V_{h0} = \langle \hat{\omega}^1, \hat{\omega}^2, \hat{\omega}^3, \dots, \hat{\omega}^{\hat{N}_h} \rangle$$

En la práctica, la base de  $V_{h0}$  es un subconjunto de la de  $V_h$  :  
 $\hat{\omega}^j = \omega^{J(i)}$ . En el caso de no tener condiciones Dirichlet, entonces  
 $V_{h0} = V_h$  y  $\hat{N}_h = N_h$ .

- La **solución discreta**  $u_h \in u_{Dh} + V_{h0} \subset V_h$  se escribe como:

$$u_h(x) = \sum_{i=1}^{N_h} u_h^i \omega^i(x).$$

- Sea  $\mathbf{u}_h \in \mathbb{R}^{N_h}$ , el vector columna:

$$\mathbf{u}_h = (u_h^1, u_h^2, \dots, u_h^{N_h})^T.$$

## 6.5 FEM 1D.

### Formulación matricial.

- Este problema discreto **se resuelve**:

$$\left\{ \begin{array}{l} \text{Encontrar } \mathbf{u}_h \in \mathbb{R}^{N_h} \text{ tal que} \\ a\left(\sum_{i=1}^{N_h} u_h^i \omega^i(x), \omega^j(x)\right) = L(\omega^j(x)), \quad \forall j, \quad 1 \leq j \leq N_h, \\ \text{bloqueando el sistema para que } u_h^l = u_{Dh}^l \text{ si } l \notin \{J(i)\}_{i=1, \dots, \hat{N}_h}. \end{array} \right.$$

Vamos a omitir por el momento el tratamiento de las condiciones de contorno, y usaremos aún  $\mathbf{u}_h$  para denotar la solución del problema más general siguiente:

**Definición ( Formulación variacional del problema discreto ampliado )**

$$\left\{ \begin{array}{l} \text{Encontrar } \mathbf{u}_h \in \mathbb{R}^{N_h} \text{ tal que} \\ a\left(\sum_{i=1}^{N_h} u_h^i \omega^i(x), \omega^j(x)\right) = L(\omega^j(x)), \quad \forall j, \quad 1 \leq j \leq N_h. \end{array} \right.$$

## 6.5 FEM 1D.

### Formulación matricial.

#### Definición (Formulación matricial del problema discreto ampliado)

$$\left\{ \begin{array}{l} \text{Encontrar } \mathbf{u}_h = \{u_h^i\} \in \mathbb{R}^{N_h} \text{ tal que} \\ A_h \mathbf{u}_h = \mathbf{b}_h, \\ (A_h)_{ji} = a(\omega^i(x), \omega^j(x)), \quad b_h^j = L(\omega^j(x)), \quad \forall i, j, \quad 1 \leq i, j \leq N_h. \end{array} \right.$$

- $A_h$  es la **matriz de rigidez** y  $\mathbf{b}_h$  el **vector de cargas**. En la práctica,  $A_h$  y  $\mathbf{b}_h$  deberán incluir también las aportaciones de las condiciones de contorno Robin que puedan existir, y en el caso de que haya condiciones Dirichlet sufrir un proceso de **bloqueo** para garantizar que  $u_h (\equiv \mathbf{u}_h) \in u_{Dh} + V_{h0}$ , esto es,  $u_h^l = u_{Dh}^l$  si  $l \notin \{J(i)\}_{i=1, \dots, \hat{N}_h}$ .

## 6.6 FEM 1D

### Elementos finitos

- El método de elementos finitos construye buenos subespacios  $V_h$  para utilizar la **aproximación de Galerkin**:
  - Los elementos de la base se eligen de forma que sean **fáciles de calcular** los elementos de la matriz de rigidez y del vector de esfuerzos.
  - Sea **fácil de implementar el bloqueo** de las condiciones Dirichlet.
  - Que la matriz de rigidez tenga el mayor número posible de ceros: **matrices huecas o sparse**.
  - Que los ceros a ser posible estén cerca de la diagonal principal para que el **ancho de banda de la matriz sea mínimo**.
  - Que la  $d(u, V_h) = O(h^k)$  cuando  $h \rightarrow 0$ , siendo  $k$  un real positivo.

## 6.6 FEM 1D

### Elementos finitos de Lagrange 1D

- **Mallado del dominio.**

Sea  $h > 0$ . Se construye la malla del dominio:

$$\bar{\Omega} = [a, b] = \cup_{i=1}^{N_h-1} [x_i, x_{i+1}] = \cup_{k=1}^{N_h-1} T_k, \quad T_k = [x_k, x_{k+1}] \quad (13)$$

Cada elemento  $T_k$  tiene dos vértices:  $x_1^k = x_k$ , y  $x_2^k = x_{k+1}$ .

Se define la longitud del elemento  $k$ :  $h_k = x_{k+1} - x_k$ . El **parámetro  $h$**  de la malla verifica:

$$h = \max_{1 \leq k \leq N_h-1} h_k$$

El **número de elementos** de la malla es  $N_{el} = N_h - 1$ ; el **número de vértices** es  $N_{ver} = N_h$ .

## 6.6 FEM 1D

### Elementos finitos de Lagrange 1D

**Elemento Finito** Se asocia a la malla  $(T_k)_{k=1}^{N_{el}}$  una familia de elementos finitos:

- Para cada elemento de la malla  $T_k$  se define el **espacio de funciones de dimensión finita**  $P_{T_k}$ .
- Se definen los **grados de libertad**  $\Sigma_{T_k}$  sobre el elemento  $T_k$ : puntos y valores característicos sobre el elemento, con los que si se conoce el valor de una función de  $V_h$ , se determina de forma única un elemento de  $P_{T_k}$ .



# 6.6 FEM 1D

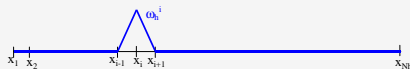
## Elementos finitos de Lagrange 1D

### 1 Elementos Lagrange lineales

$$V \supset V_h = \{v_h \in C([a, b]) : v_h|_{T_k} \in P_1, 1 \leq k \leq N_{el}\},$$



Base local de  $V_h$   
sobre el  
elemento  $T_k$ .



Grafo de la función básica  $\omega_h^i$ .

$$\omega_h^i(x)|_{T_k} = a_1^{ik} + a_2^{ik}x; \quad \omega_h^i(x_j) = \delta_{ij}.$$

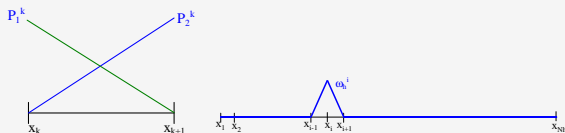
Los nodos locales son los vértices de los segmentos/elementos

- 2 Los nodos son los vértices de la malla:  $n_i = x_i$ ,  $N_{nod} = N_{ver}$ . El n° total de grados de libertad es  $N_{ver}$ .

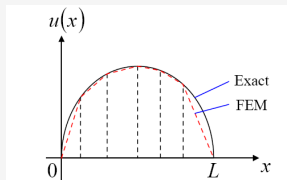
# 6.6 FEM 1D

## Elementos finitos de Lagrange 1D

### 1 Elementos Lagrange lineales



Base local de  $V_h$ . Grafo de la función básica  $\omega_h^i$ .



2

$$u_h(x) = \sum_{i=1}^{N_h} u_h^i \omega_h^i(x), \quad u_h^i = u_h(x_i) \in \mathbb{R}.$$

Los grados de libertad son los valores de la función en los vértices ( $\equiv$  nodos) de la malla.

3 La matriz es tridiagonal:  $(A_h)_{ij} = a(\omega_h^j, \omega_h^i) = 0$  si  $|i - j| > 1$ .

## 6.6 FEM 1D

### Elementos finitos de Lagrange 1D

**Cota de error** Si  $u \in H^2(a, b)$  entonces la **aproximación por elementos finitos de Lagrange lineales en dimensión 1D** es:

$$\left\| u^{(l)} - u_h^{(l)} \right\|_{L^2(a,b)} = O\left(h^{2-l}\right), \quad l \in \{0, 1\},$$

siendo

$$H^2(a, b) = \left\{ v \in L^2(a, b) : \frac{dv}{dx} \text{ y } \frac{d^2v}{dx^2} \in L^2(a, b) \right\},$$

$$\|v\|_{H^2(a,b)} = \left( \|v\|_{0,2}^2 + \left\| \frac{dv}{dx} \right\|_{0,2}^2 + \left\| \frac{d^2v}{dx^2} \right\|_{0,2}^2 \right)^{1/2}.$$

## 6.7 FEM 1D

### Construcción del sistema discreto

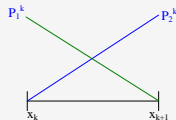
- En el cálculo de  $A_h$  debemos integrar funciones sobre  $[a, b]$  :

$$\int_a^b = \sum_{k \in \mathcal{T}_h} \int_{T_k}$$

En  $T_k$ , una **base local** de  $V_h$  sobre el intervalo  $[x_k, x_{k+1}]$  está constituida por los polinomios de grado 1,  $P_1^k$  y  $P_2^k$ :

$$P_1^k(x_k) = 1, \quad P_1^k(x_{k+1}) = 0,$$

$$P_2^k(x_k) = 0, \quad P_2^k(x_{k+1}) = 1.$$



Base local en

Si  $x_j^k$  denota el  $j$ -ésimo nodo de  $T_k$ :

$$P_i^k(x_j^k) = \delta_{ij}, \quad i, j \in \{1, 2\},$$

$$x_j^k = x_{k+j-1}.$$

## 6.7 FEM 1D

### Construcción del sistema discreto

- Si  $v_h \in V_h$ ,

$$v_h|_{T_k} = v_h|_{[x_k, x_{k+1}]} = \gamma_1 P_1^k + \gamma_2 P_2^k,$$

siendo  $\gamma_1 = v_h(x_k)$  y  $\gamma_2 = v_h(x_{k+1})$ .



$$v_h|_{[x_k, x_{k+1}]} = [P_1^k \ P_2^k](x) \begin{pmatrix} v_h(x_k) \\ v_h(x_{k+1}) \end{pmatrix} = [P^k](x) (\mathbf{v}_h)_k.$$



$$v_h'|_{[x_k, x_{k+1}]} = [(P_1^k)' \ (P_2^k)'](x) \begin{pmatrix} v_h(x_k) \\ v_h(x_{k+1}) \end{pmatrix} = [DP^k](x) (\mathbf{v}_h)_k.$$

## 6.7 FEM 1D

### Construcción del sistema discreto

- Consideremos los términos con integral de la forma bilineal:

$$\begin{aligned}a(u_h, v_h) &= \int_a^b p(x) u_h' v_h' dx + \int_a^b r(x) u_h v_h dx \\&= \sum_{T_k \in \mathcal{T}_h} \left( \int_{x_k}^{x_{k+1}} p(x) u_h' v_h' dx + \int_{x_k}^{x_{k+1}} r(x) u_h v_h dx \right) \\&= \sum_{k=1}^{N_{el}} a_k(u_h, v_h).\end{aligned}$$

## 6.7 FEM 1D

### Construcción del sistema discreto



$$\begin{aligned}a_k(u_h, v_h) &= \int_{x_k}^{x_{k+1}} (v_h')^t p(x) u_h' dx + \int_{x_k}^{x_{k+1}} (v_h)^t r(x) u_h dx \\&= \int_{x_k}^{x_{k+1}} (\mathbf{v}_h)_k^t [DP^k]^t p(x) [DP^k] (\mathbf{u}_h)_k dx \\&\quad + \int_{x_k}^{x_{k+1}} (\mathbf{v}_h)_k^t [P^k]^t r(x) [P^k] (\mathbf{u}_h)_k dx,\end{aligned}$$

- Sea  $[A_h^k]$  la matriz  $2 \times 2$  definida por:

$$[A_h^k] = \int_{x_k}^{x_{k+1}} [DP^k]^t p(x) [DP^k] dx + \int_{x_k}^{x_{k+1}} [P^k]^t r(x) [P^k] dx,$$

de forma que:

$$a_k(u_h, v_h) = (\mathbf{v}_h)_k^t [A_h^k] (\mathbf{u}_h)_k.$$

- La matriz  $[A_h^k]$  es la matriz elemental asociada al elemento  $T_k$ .

## 6.7 FEM 1D

### Construcción del sistema discreto



$$a(u_h, v_h) = \sum_{T_k \in \mathcal{T}_h} (\mathbf{v}_h)_k^t \left[ A_h^k \right] (\mathbf{u}_h)_k.$$

- Los vectores  $(\mathbf{v}_h)_k$  y  $(\mathbf{u}_h)_k$  son grados de libertad locales

$$(\mathbf{u}_h)_k = \begin{pmatrix} u_h(x_k) \\ u_h(x_{k+1}) \end{pmatrix}, T_k \in \mathcal{T}_h.$$

- El vector de grados de libertad globales es el vector  $(\tilde{u}_h)$  definido por:

$$\mathbf{u}_h = \begin{pmatrix} u_h(x_1) \\ u_h(x_2) \\ \dots \\ u_h(x_{N_h}) \end{pmatrix} = \begin{pmatrix} u_h^1 \\ u_h^2 \\ \dots \\ u_h^{N_h} \end{pmatrix}.$$



## 6.7 FEM 1D

### Construcción del sistema discreto

$$[B^k] = \begin{pmatrix} 0 & \dots & 0 & \overset{\downarrow k}{1} & 0 & 0 & \dots & 0 \\ 0 & \dots & 0 & 0 & \underset{\uparrow k+1}{1} & 0 & \dots & 0 \end{pmatrix} \in M_{2 \times N_h},$$

$$B_{ij}^k = \begin{cases} 1 & \text{si } x_j = x_i^k, \\ 0 & \text{en otro caso.} \end{cases} \quad (u_h)_k = [B^k] \mathbf{u}_h.$$

•

$$\begin{aligned} a(u_h, v_h) &= \sum_{T_k \in \mathcal{T}_h} \mathbf{v}_h^t [B^k]^t [A_h^k] [B^k] \mathbf{u}_h \\ &= \mathbf{v}_h^t \left[ \sum_{T_k \in \mathcal{T}_h} [B^k]^t [A_h^k] [B^k] \right] \mathbf{u}_h. \end{aligned}$$

•  $[B^k]$  es la **matriz de ensamblado**.

## 6.7 FEM 1D

### Construcción del sistema discreto

- La matriz de rigidez es tridiagonal:

$$(A_h)_{ij} = a(\omega_h^j, \omega_h^i) = 0 \text{ si } |i - j| > 1.$$

$$(A_h)_{ij} = \left( \sum_{T_k \in \mathcal{T}_h} [B^k]^t [A_h^k] [B^k] \right)_{ij} = \sum_{T_k \in \mathcal{T}_h} \left( [B^k]^t [A_h^k] [B^k] \right)_{ij}.$$

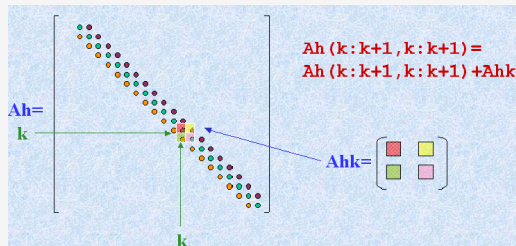
$$\begin{aligned} \left( [B^k]^t [A_h^k] [B^k] \right)_{ij} &= \sum_{r,s=1}^2 [B^k]_{ir}^t [A_h^k]_{rs} [B^k]_{sj} \\ &= \begin{cases} [A_h^k]_{11} & \text{si } i = j = k, \\ [A_h^k]_{12} & \text{si } i = k, j = k + 1, \\ [A_h^k]_{21} & \text{si } i = k + 1, j = k, \\ [A_h^k]_{22} & \text{si } i = j = k + 1, \\ 0 & \text{en otro caso,} \end{cases} \end{aligned}$$

## 6.7 FEM 1D

### Construcción del sistema discreto

$$\left( [B^k]^t [A_h^k] [B^k] \right)_{ij} = \begin{cases} [A_h^k]_{11} & \text{si } i = j = k, \\ [A_h^k]_{12} & \text{si } i = k, j = k + 1, \\ [A_h^k]_{21} & \text{si } i = k + 1, j = k, \\ [A_h^k]_{22} & \text{si } i = j = k + 1, \\ 0 & \text{en otro caso,} \end{cases}$$

- Ensamblado de la matriz elemental correspondiente al elemento  $k$ :



## 6.7 FEM 1D

### Construcción del sistema discreto

- Consideremos el término integral de la forma lineal:

$$\begin{aligned} L(v_h) &= \int_a^b f(x) v_h dx = \sum_{T_k \in \mathcal{T}_h} \int_{x_k}^{x_{k+1}} f(x) v_h dx \\ &= \sum_{T_k \in \mathcal{T}_h} \int_{x_k}^{x_{k+1}} (v_h)^t f(x) dx = \sum_{T_k \in \mathcal{T}_h} (\mathbf{v}_h)_k^t \int_{x_k}^{x_{k+1}} [P^k]^t f(x) dx. \end{aligned}$$

- Vector de carga elemental correspondiente al elemento  $k$ :

$$(\mathbf{b}_h)_k = \int_{x_k}^{x_{k+1}} [P^k]^t f(x) dx.$$

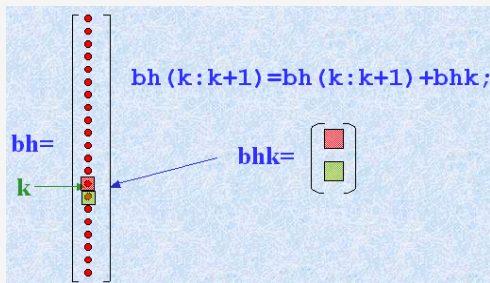
- En términos de los grados de libertad globales:

$$L(v_h) = \mathbf{v}_h^t \sum_{T_k \in \mathcal{T}_h} [B^k]^t (\mathbf{b}_h)_k.$$

## 6.7 FEM 1D

### Construcción del sistema discreto

- Cada elemento de la malla sólo aporta a dos componentes del vector de cargas:



Ensamblado del vector de carga elemental.

## 6.7 FEM 1D

### Construcción del sistema discreto

Encontrar  $\mathbf{u}_h \in \mathbb{M}_{N_h \times 1}$  tal que:

$$\mathbf{v}_h^t \left[ \sum_{T_k \in \mathcal{T}_h} [B^k]^t [A_h^k] [B^k] \right] \mathbf{u}_h = \mathbf{v}_h^t \sum_{T_k \in \mathcal{T}_h} [B^k]^t (\mathbf{b}_h)_k ,$$
$$\forall \mathbf{v}_h \in \mathbb{M}_{N_h \times 1} .$$

- En particular, tomando como  $\mathbf{v}_h$  los elementos de la base del espacio de elementos finitos, la expresión anterior es equivalente al sistema algebraico:

Encontrar  $\mathbf{u}_h \in \mathbb{M}_{N_h \times 1}$  tal que:

$$\sum_{T_k \in \mathcal{T}_h} [B^k]^t [A_h^k] [B^k] \mathbf{u}_h = \sum_{T_k \in \mathcal{T}_h} [B^k]^t (\mathbf{b}_h)_k .$$

•

$$A_h = \sum_{T_k \in \mathcal{T}_h} [B^k]^t [A_h^k] [B^k] \text{ y } \mathbf{b}_h = \sum_{T_k \in \mathcal{T}_h} [B^k]^t (\mathbf{b}_h)_k .$$

- $A_h$  es la **matriz del sistema** y  $\mathbf{b}_h$  el **vector de carga**.

## 6.7 FEM 1D

### Construcción del sistema discreto

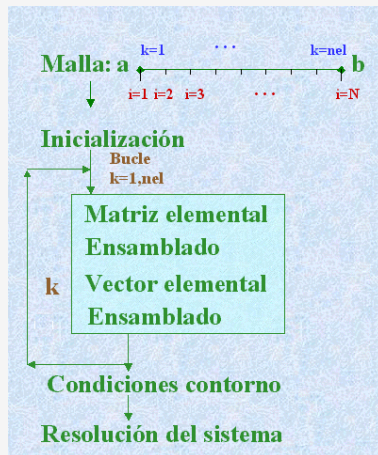


Figura: Diagrama de Flujo.

## 6.8 FEM 1D

### Construcción de los términos elementales

- Sea  $\hat{T} = [0, 1]$  el **elemento de referencia**.
- Consideremos la **aplicación afín**:

$$\begin{aligned} F_k : \hat{x} \in \hat{T} &\rightarrow F_k(\hat{x}) = (x_{k+1} - x_k)\hat{x} + x_k \\ &= (x_2^k - x_1^k)\hat{x} + x_1^k \in T_k \end{aligned}$$

- $F_k$  transforma  $\hat{T}$  en  $T_k$  y lleva vértices en vértices:

$$F_k(0) = x_k = x_1^k \text{ y } F_k(1) = x_{k+1} = x_2^k.$$

•

$$J(F_k) = x_{k+1} - x_k = \text{long}(T_k) = h_k.$$

- Sean

$$\hat{P}_i = P_i^k \circ F_k, \quad i = 1, 2,$$

$\hat{P}_1$  y  $\hat{P}_2$  constituyen la **base local del elemento de referencia**, ya que ambos son polinomios de grado uno y verifican:

$$\hat{P}_1(0) = 1, \hat{P}_1(1) = 0, \quad \hat{P}_2(0) = 0, \hat{P}_2(1) = 1.$$



## 6.8 FEM 1D

### Construcción de los términos elementales

- Es fácil ver que los únicos polinomios de grado uno que verifican estas propiedades son:

$$\hat{P}_1(\hat{x}) = 1 - \hat{x} \text{ y } \hat{P}_2(\hat{x}) = \hat{x}.$$

- Por consiguiente:

$$[\hat{P}] = \begin{bmatrix} 1 - \hat{x} & \hat{x} \end{bmatrix} = \left[ P^k \circ F_k \right].$$

- Por la regla de la cadena, se verifica:

$$\frac{d}{d\hat{x}} \left( P_i^k \circ F_k \right) (\hat{x}) = \frac{d}{dx} P_i^k (F_k(\hat{x})) \frac{d}{d\hat{x}} F_k(\hat{x}) = h_k \frac{d}{dx} P_i^k (F_k(\hat{x})).$$



$$[\hat{D}\hat{P}] = \begin{bmatrix} -1 & 1 \end{bmatrix} = h_k \left[ DP^k \circ F_k \right] = h_k \left[ DP^k \circ F_k \right].$$

## 6.8 FEM 1D

### Construcción de los términos elementales



$$\begin{aligned}\left[A_h^k\right] &= h_k \left\{ \int_0^1 [DP^k \circ F_k]^t (p \circ F_k) [DP^k \circ F_k] d\hat{x} \right. \\ &\quad \left. + \int_0^1 [P^k \circ F_k]^t (r \circ F_k) [P^k \circ F_k] d\hat{x} \right\} \\ &= \frac{1}{h_k} \int_0^1 [\hat{D}\hat{P}]^t (p \circ F_k) [\hat{D}\hat{P}] d\hat{x} + h_k \int_0^1 [\hat{P}]^t (r \circ F_k) [\hat{P}] d\hat{x}.\end{aligned}$$



$$\begin{aligned}\left[A_h^k\right] &= \frac{1}{h_k} \int_0^1 \begin{bmatrix} -1 \\ 1 \end{bmatrix} (p \circ F_k) \begin{bmatrix} -1 & 1 \end{bmatrix} d\hat{x} \\ &\quad + h_k \int_0^1 \begin{bmatrix} 1 - \hat{x} \\ \hat{x} \end{bmatrix} (r \circ F_k) \begin{bmatrix} 1 - \hat{x} & \hat{x} \end{bmatrix} d\hat{x}.\end{aligned}$$

## 6.8 FEM 1D

### Construcción de los términos elementales

- La matriz elemental sobre el elemento  $T_k$  es:

$$\begin{aligned} \left[ A_h^k \right] &= \frac{1}{h_k} \int_0^1 (p \circ F_k) \begin{bmatrix} 1 & -1 \\ -1 & 1 \end{bmatrix} d\hat{x} \\ &\quad + h_k \int_0^1 (r \circ F_k) \begin{bmatrix} (1-\hat{x})^2 & (1-\hat{x})\hat{x} \\ (1-\hat{x})\hat{x} & \hat{x}^2 \end{bmatrix} d\hat{x}. \end{aligned}$$

- Si  $p$  y  $q$  son constantes:

$$\left[ A_h^k \right] = \frac{p}{h_k} \begin{bmatrix} 1 & -1 \\ -1 & 1 \end{bmatrix} + \frac{r}{6} h_k \begin{bmatrix} 2 & 1 \\ 1 & 2 \end{bmatrix}.$$

## 6.8 FEM 1D

### Construcción de los términos elementales

$$\begin{aligned} [A_h^k] &= \frac{1}{h_k} \int_0^1 (p \circ F_k) \begin{bmatrix} 1 & -1 \\ -1 & 1 \end{bmatrix} d\hat{x} \\ &\quad + h_k \int_0^1 (r \circ F_k) \begin{bmatrix} (1 - \hat{x})^2 & (1 - \hat{x}) \hat{x} \\ (1 - \hat{x}) \hat{x} & \hat{x}^2 \end{bmatrix} d\hat{x}. \end{aligned}$$

- En otro caso se elije una fórmula de integración; por ejemplo considerando la **fórmula de Poncelet**:

$$\begin{aligned} [A_h^k] &\approx \frac{1}{h_k} p\left(\frac{x_k + x_{k+1}}{2}\right) \begin{bmatrix} 1 & -1 \\ -1 & 1 \end{bmatrix} \\ &\quad + h_k r\left(\frac{x_k + x_{k+1}}{2}\right) \begin{bmatrix} 1/4 & 1/4 \\ 1/4 & 1/4 \end{bmatrix}. \end{aligned}$$

## 6.8 FEM 1D

### Construcción de los términos elementales

$$\begin{aligned} \left[ A_h^k \right] &= \frac{1}{h_k} \int_0^1 (p \circ F_k) \begin{bmatrix} 1 & -1 \\ -1 & 1 \end{bmatrix} d\hat{x} \\ &\quad + h_k \int_0^1 (r \circ F_k) \begin{bmatrix} (1 - \hat{x})^2 & (1 - \hat{x}) \hat{x} \\ (1 - \hat{x}) \hat{x} & \hat{x}^2 \end{bmatrix} d\hat{x}. \end{aligned}$$

- **O fórmula del trapecio:**

$$\begin{aligned} \left[ A_h^k \right] &\approx \frac{1}{h_k} \frac{p(x_k) + p(x_{k+1})}{2} \begin{bmatrix} 1 & -1 \\ -1 & 1 \end{bmatrix} \\ &\quad + h_k \frac{1}{2} \begin{bmatrix} r(x_k) & 0 \\ 0 & r(x_{k+1}) \end{bmatrix}. \end{aligned}$$

## 6.8 FEM 1D

### Construcción de los términos elementales

- Integración del segundo miembro:

$$\begin{aligned}(\mathbf{b}_h)_k &= \int_{x_k}^{x_{k+1}} [P^k]^t f dx = h_k \int_0^1 [P^k \circ F_k]^t (f \circ F_k) d\hat{x} \\&= h_k \int_0^1 [\hat{P}]^t (f \circ F_k) d\hat{x} = h_k \int_0^1 \begin{bmatrix} 1 - \hat{x} \\ \hat{x} \end{bmatrix} (f \circ F_k) d\hat{x} \\&\approx h_k f\left(\frac{x_k + x_{k+1}}{2}\right) \begin{bmatrix} 1/2 \\ 1/2 \end{bmatrix}.\end{aligned}$$

## 6.9 FEM 1D

### Implementación de condiciones de contorno Dirichlet

- Condiciones de contorno de bloqueo o Dirichlet

$$u_h(x) = \begin{cases} u_a, & \text{si Dirichlet en } x = a \\ u_b, & \text{si Dirichlet en } x = b \end{cases}$$

- **Opción 1: Sustitución:** Se sustituye la primera y/o la última ecuación del sistema:

$$\begin{aligned} [A_h]_{11} &= 1; [A_h]_{1j} = 0, 2 \leq j \leq N_h; b_h^1 = u_a, \text{ y/o} \\ [A_h]_{N_h j} &= 0, 1 \leq j \leq N_h - 1; [A_h]_{N_h N_h} = 1; b_h^{N_h} = u_b \end{aligned}$$

- **Opción 2. Bloqueo por pivote:** Se substituye la primera y la última ecuación por otras computacionalmente equivalentes:

$$\begin{aligned} 10^{30} u_h^1 + [A_h]_{12} u_h^2 + \dots + [A_h]_{1N_h} u_h^{N_h} &= 10^{30} u_a \\ [A_h]_{N_h 1} u_h^1 + [A_h]_{N_h 2} u_h^2 + \dots + [A_h]_{N_h N_h - 1} u_h^{N_h - 1} + 10^{30} u_h^{N_h} &= 10^{30} u_b \end{aligned}$$

## 6.9 FEM 1D

### Implementación de condiciones de contorno Dirichlet

- **Opción 2:** Para mantener la diferencia significativa del bloqueo teniendo en cuenta la magnitud de la matriz original, se recomienda substituir la primera y la última ecuación por otras computacionalmente equivalentes:

$$\begin{aligned} 10^{30}[A_h]_{11}u_h^1 + [A_h]_{12}u_h^2 + \dots + [A_h]_{1N_h}u_h^{N_h} &= 10^{30}[A_h]_{11}u_a, \\ [A_h]_{N_h1}u_h^1 + \dots + [A_h]_{N_hN_h-1}u_h^{N_h-1} + \\ 10^{30}[A_h]_{N_hN_h}u_h^{N_h} &= 10^{30}[A_h]_{N_hN_h}u_b. \end{aligned}$$

- **Opción 3: Condensación:** Eliminar la primera y/o la última incógnitas del sistema, eliminando las correspondientes filas de la matriz de rigidez y del vector de cargas. Requiere previamente modificar el vector de cargas:

$$\begin{aligned} b_h^2 &= b_h^2 - [A_h]_{21}u_a, \\ b_h^{N_h-1} &= b_h^{N_h-1} - [A_h]_{N_h-1, N_h}u_b. \end{aligned}$$



## 6.9 FEM 1D

### Implementación de condiciones de contorno Robin

- Condiciones de contorno Robin

$$p(b) u'(b) + h_b u(b) = g_b$$

- 

$$- \int_a^b (p u'(x))' v(x) dx + \int_a^b r(x) u(x) v(x) dx = \int_a^b f(x) v(x) dx.$$

$$\int_a^b p(x) u'(x) v'(x) dx + \int_a^b r(x) u(x) v(x) dx + \underbrace{h_b u(b) v(b)}_{\text{Matriz}}$$

$$= \int_a^b f(x) v(x) dx + \underbrace{g_b}_{\leftarrow \text{Vector carga}} v(b) - p u'(a) v(a).$$

- 

$$b_h^{N_h} = b_h^{N_h} + g_b.$$

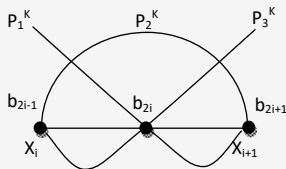
$$[A_h]_{N_h N_h} = [A_h]_{N_h N_h} + h_b$$

## 6.10 FEM 1D.

### Elementos finitos de Lagrange 1D cuadráticos

#### 1 Elementos Lagrange cuadráticos

$$V \supset V_h = \{v_h \in C([a, b]) : v_h|_{[x_i, x_{i+1}]} \in P_2, 1 \leq i \leq N_h - 1\},$$

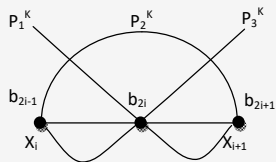


Base local de  $V_h$ .

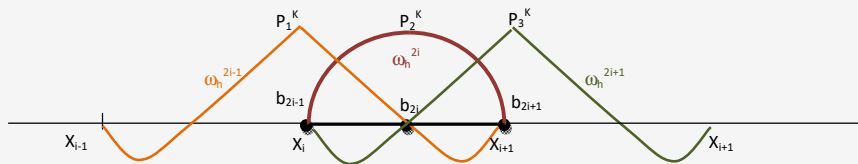
- 2 Los **nodos** son los vértices de la malla y los puntos medios de los **elementos**.
- 3 El n° de **grados de libertad** es  $N_{nod} = 2N_{ver} - 1$ .
- 4 Los nodos se denotan por  $n_i$ . En las figuras aparecen denotados por  $b_i$ ,  $1 \leq i \leq N_{nod}$ .

## 6.10 FEM 1D.

### Elementos finitos de Lagrange 1D cuadráticos

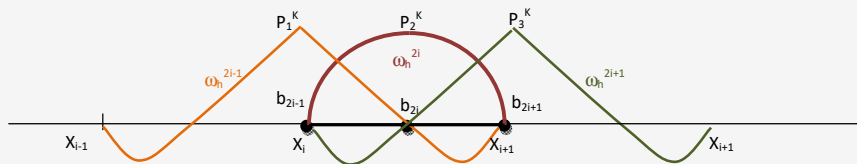


Base local de  $V_h$ .



## 6.10 FEM 1D.

### Elementos finitos de Lagrange 1D cuadráticos



❶  $N_h = 2N_{ver} - 1$

$$u_h(x) = \sum_{i=1}^{N_h} u_h^i \omega_h^i(x), \quad u_h^i = u_h(n_i) \in \mathbb{R}.$$

Los grados de libertad son los valores de la función en los nodos de la malla, en este caso en los vértices y en los puntos medios de los elementos

❷ La matriz tiene un ancho de banda 3:

$$(A_h)_{ij} = a(\omega_h^j, \omega_h^i) = \begin{cases} 0 & \text{si } |i-j| \geq 2, \text{ si } i \text{ par.} \\ 0 & \text{si } |i-j| \geq 3, \text{ si } i \text{ impar.} \end{cases}$$

## 6.10 FEM 1D.

### Elementos finitos de Lagrange 1D cuadráticos

- La matriz tiene un ancho de banda 4:

$$(A_h)_{ij} = a(\omega_h^j, \omega_h^i) = \begin{cases} 0 & \text{si } |i-j| \geq 2, \text{ si } i \text{ par.} \\ 0 & \text{si } |i-j| \geq 3, \text{ si } i \text{ impar.} \end{cases}$$

- Cada elemento de la malla sólo hace aportaciones a cuatro elementos de la matriz:

$$A = \begin{pmatrix} \bullet & \bullet & \bullet & & & & & & & \\ \bullet & \bullet & \bullet & & & & & & & \\ \bullet & \bullet & \bullet & \bullet & \bullet & & & & & \\ & & \bullet & \bullet & \bullet & & & & & \\ & & \bullet & \bullet & \bullet & \bullet & \bullet & & & \\ & & & \bullet & \bullet & \bullet & \bullet & \bullet & & \\ & & & & \bullet & \bullet & \bullet & \bullet & \bullet & \\ & & & & & \bullet & \bullet & \bullet & \bullet & \bullet \\ 0 & & & & & & & \bullet & \bullet & \bullet \\ & & & & & & & \bullet & \bullet & \bullet \end{pmatrix}$$

## 6.10 FEM 1D.

### Elementos finitos de Lagrange 1D cuadráticos

**Cota de error** Si  $u \in H^3(a, b)$  entonces la aproximación por elementos finitos de Lagrange cuadráticos en dimensión 1D es:

$$\left\| u^{(l)} - u_h^{(l)} \right\|_{L^2(a,b)} = O\left(h^{3-l}\right), \quad l \in \{0, 1, 2\}.$$